

Рис. 4. Графическое решение уравнения (6) для систем  $Cu(C_{17}H_{35}CO_2)_2$ -PrOH-PhMe- $P_4$ - $O_2$  при 333 K (I) и  $Cu(C_3H_7CO_2)_2$ -BuOH-Py-PhMe- $P_4$ - $O_2$  при 353 K (II). Концентрации компонентов см. в тексте.

**Температура реакции.** Константы скорости восстановления  $CuY_2$  тетрафосфором и окисления  $CuY$  кислородом возрастают при повышении температуры (табл. 2). Эти данные были использованы для расчета энергии ( $E^\ddagger$ ) и энтропии активации ( $\Delta S^\ddagger$ ) реакций восстановления  $Cu(II)$  тетрафосфором ( $E_b^\ddagger$ ,  $\Delta S_b^\ddagger$ ) и окисления  $Cu(I)$  кислородом ( $E_{ok}^\ddagger$ ,  $\Delta S_{ok}^\ddagger$ ). Активационные параметры заметно зависят от состава комплекса:

$Y^-$	Спирт	$E_b^\ddagger$	$E_{ok}^\ddagger$	$-\Delta S_b^\ddagger$ (333 K)	$-\Delta S_{ok}^\ddagger$ (333 K)
		кДж моль <sup>-1</sup>	Дж моль <sup>-1</sup> К		
$CH_3CO_2^-$	i-PrOH	$46 \pm 3$	$43 \pm 3$	$100 \pm 8$	$55 \pm 4$
$C_3H_7CO_2^-$	BuOH	$70 \pm 4$	$62 \pm 4$	$33 \pm 2$	$5 \pm 1$

В области температур 313 - 363 K соотношение продуктов  $(RO)_3PO/(RO)_2P$  почти не изменяется. При температурах 370 - 420 K образуется диалкилфосфат:



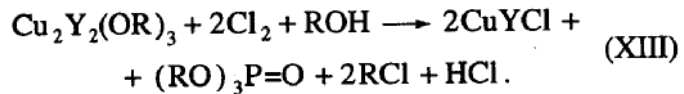
Отношение  $(RO)_3PO/(RO)_2(HO)PO$  падает от 8 до 1 при повышении температуры. Органические фосфаты можно отделить от катализатора экстракцией гептаном с последующей перегонкой под вакуумом. При давлении 4 - 5 мм рт. ст. триалкилфосфат отгоняется, а диалкилфосфат остается в кубовом остатке.

**Концентрация ROH.** Влияние концентрации ROH на протекание реакции в растворе ROH-PhMe-(RO)<sub>3</sub>PO-CuY<sub>2</sub>-P<sub>4</sub>-O<sub>2</sub> изучали путем проведения повторных опытов. В ходе окисления новых порций P<sub>4</sub> спирт постепенно расходуется на образование ФОС. Заметной потери активности

Таблица 2. Константы скорости ключевых стадий реакции окислительного алcoxилирования P<sub>4</sub> в присутствии карбоксилатов Cu(II)

$CuY_2$	Спирт	Добавка	$T, K$	$k_b, l \text{ моль}^{-2} \text{ мин}^{-1}$	$k_{ok} \times 10^{-3}, l \text{ моль}^{-1} \text{ мин}^{-1}$
$Cu(CH_3CO_2)_2$	i-PrOH	Py	323	4.0	0.6
»	»	»	333	6.7	1.0
$Cu(C_3H_7CO_2)_2$	BuOH	-	333	4.0	0.4
»	»	-	343	8.4	0.7
»	AmOH	-	353	11.4	1.0
»	i-AmOH	H <sub>2</sub> O	353	4.0	0.4
»	BuOH	Py	353	29.0	1.4
$Cu(C_{17}H_{35}CO_2)_2$	PrOH	-	333	6.8	0.4
»	BuOH	-	343	14.5	0.6

и селективности в процессе окислительного алcoxилирования последовательных порций P<sub>4</sub> в одном и том же катализитическом растворе не наблюдается до достижения отношения  $[ROH]/[\Sigma[FOC]] \approx 20$ . По мере дальнейшего уменьшения этого отношения триалкилфосфаты и фосфиты постепенно вытесняют ROH из координационной сферы Cu(II) и Cu(I), замедляя как восстановление Cu(II) тетрафосфором, так и окисление Cu(I) кислородом. Триалкилфосфитные комплексы Cu(I) представляют собой белые вещества с консистенцией мази. Их температура плавления зависит от природы алcoxигруппы и составляет от 360 до 450 K. Они растворимы в эфире, арене, ацетоне, спиртах, легко разрушаются хлором.



Поэтому (RO)<sub>3</sub>P анализировали по количеству (RO)<sub>3</sub>PO, образующегося в результате обработки раствора после опыта смесью Ar-Cl<sub>2</sub> с низким содержанием хлора при 340 K.

**Кислотность.** Влияние pH на скорость и направление реакций (I) - (IV) изучали путем добавления в систему пиридина и карбоновой кислоты. Оказалось, что добавка пиридина ускоряет как восстановление Cu(II) тетрафосфором, так и окисление Cu(I) кислородом (табл. 2), а добавка уксусной кислоты замедляет обе ключевые стадии. Кроме того, в арен-уксусно-кислом растворе